

Emulação de Rede LTE Usando OpenAirInterface e Análise de Tráfego Via Protocolo de Rede

Virgínia Tavares, Lucas Nóvoa, Gabriel Couto, Aldebaro Klautau e Francisco Muller

Resumo— Este artigo apresenta a construção de uma rede 4G e sua análise de tráfego via protocolo de rede, com foco no uso de softwares *open-source* para a montagem dos principais módulos que constituem a arquitetura básica da tecnologia *Long Term Evolution* (LTE). A contribuição deste trabalho é demonstrar a emulação de uma rede LTE de baixo-custo *indoor* usando rádio definido por software e como resultado uma análise de tráfego da mesma via protocolos da camada de transporte para validar a emulação.

Palavras-Chave— LTE, OpenAirInterface, Análise de Tráfego, Rádio Definido por Software.

Abstract— This article presents the construction of a 4G network and its traffic analysis via network protocols. The main focus is the usage of open-source software to deploy the basic architecture of *Long Term Evolution* (LTE) technology main modules. The contribution of this work is to show an emulation of an indoor low-cost LTE network using software defined radio and as result a traffic analysis via transport layer protocols to validate the emulation.

Keywords— LTE, OpenAirInterface, Traffic Analysis, Software Defined Radio.

I. INTRODUÇÃO

De acordo com [1], o acelerado crescimento dos dados móveis criou desafios sem precedentes para as provedoras de serviços de telefonia. Para acompanhar o crescimento da rede móvel, tecnologias como o LTE estão evoluindo e moldando a base da quinta geração de rede móvel (5G).

A arquitetura LTE é constituída pelo *User Equipment* (UE), *Evolved Packet Core* (EPC) e *Evolved UMTS Terrestrial Radio Access Network* (E-UTRAN). O EPC é responsável por lidar com o tráfego de dados de forma eficiente do ponto de vista de desempenho e custos comparado a tecnologias anteriores como o *Universal Mobile Telecommunication System* (UMTS) e *Global System for Mobile Communications* (GSM). O EPC tem como entidades o *Home Subscriber Server* (HSS), *Mobility Management Entity* (MME), *Policy and Charging Rules* (PCRF), o *Packet Data Network Gateway* (PGW) e o *Serving Gateway* (SGW). O E-UTRAN, consiste em estações rádio-bases (eNodeB) interligadas pela interface X2, é encarregado pelas comunicações de rádio entre o UE e o EPC [2].

Para desenvolver novos padrões de telefonia e tráfego de dados, grandes esforços estão sendo conduzidos mundialmente. Nesse contexto, o presente artigo busca a emulação de uma rede LTE através de *software* de código aberto (mais precisamente *OpenAirInterface* - OAI) e *hardware* de baixo custo. E

Os autores participam do LASSE – Grupo de Pesquisa em 5G & IoT, Universidade Federal do Pará (UFPA), Belém-PA, E-mails: {virginia.tavares, lucas.pinto, gabriel.couto}@itec.ufpa.br, {aldebaro, fmuller}@ufpa.br

também uma análise da rede realizada através do analisador de pacotes *Wireshark* a fim de confirmar o funcionamento correto dos módulos criados. As próximas seções deste artigo estão organizadas da seguinte maneira: na Seção II são expostas as ferramentas utilizadas para emulação da rede. A Seção III descreve a construção do ambiente utilizado, enquanto na Seção IV são explorados os dados obtidos via *Wireshark*. Por fim, a Seção V traz as conclusões finais do artigo.

II. FERRAMENTAS UTILIZADAS

O OAI foi utilizado como principal ferramenta por ser capaz construir e simular os módulos eNodeB e EPC. Também por fornecer *open-source hardware* e soluções de *software* para experimentação de redes de rádio. O uso do OAI permite uma monitorização completa, incluindo os dispositivos móveis conectados, em tempo real [3]. Assim como [4] foi utilizado o *PySim*, versão 2.3.0, *software* disponibilizado pelo projeto Osmocom da Sysmocom, para a programação dos SIMcards *osmoUSIM-SJS1*.

O *Wireshark*, utilizada versão 2.6.8, é um programa analisador de protocolos de rede que permite capturar pacotes e analisar a estrutura de pacotes entre os módulos LTE. Ele possui destaque nesse trabalho pois permite solução de problemas de rede, análise, comunicação e desenvolvimento de protocolos de *software*. Esses dados podem ser utilizados, por exemplo, na análise de Qualidade de Serviço (QoS - *Quality of Service*) [5].

III. AMBIENTE DE EMULAÇÃO

Inicialmente, o módulo do EPC foi montado através do OAI em uma máquina virtual hospedada em um x86_64 de processador Intel® Core i5-7500 CPU @ 3.40GHz. A máquina hospedeira possuía o Ubuntu 16.04 LTS como sistema operacional (SO) e "4.8.0-52-lowlatency" como Kernel Linux. Enquanto, a máquina virtual possuía Ubuntu 16.04 LTS e Kernel Linux 4.7.7.

Seguindo os tutoriais oficiais [6], houve primeiramente a configuração dos arquivos referentes ao HSS, MME, SGW e PGW (estes dois últimos são reunidos no chamado SPG-W). Assim, tem-se o EPC+HSS construído. O OAI suporta funções de divisão IF4p5 para *Remote Radio Unit* (RRU) e *Radio Cloud Center* (RCC) no modo eNodeB. A partir disso houve a configuração dos arquivos de RRU e RCC para configurar o eNodeB na hospedeira, onde conectou-se uma USRP B210 [7]. A Figura 1 ilustra a arquitetura de módulos utilizada.

Através de um leitor padrão de SIMCards houve o registro de dados compatíveis com o HSS em nos SIMcards através do

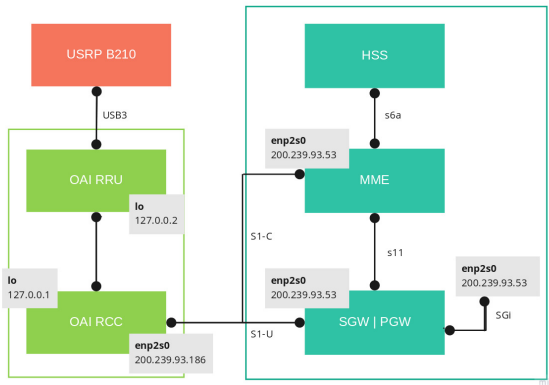


Fig. 1. Arquitetura de módulos, com detalhes de IP e interfaces utilizadas.

Pysim, em seguida um dos SIMs foi posto em um UE, Modem USB *Huawei E3272* [8], configurado com uma APN também compatível ao HSS, assim possibilitando a entrada do UE na rede.

IV. RESULTADOS OBTIDOS PELO WIRESHARK

No *Wireshark*, instalado junto ao eNodeB, foi utilizado o filtro “udp.dstport == 2123 || sctp”. Este filtro dentro da rede procura pelos pacotes usando como referência a porta UDP de destino 2123 ou relacionados ao SCTP (*Stream Control Transmission Protocol*). Verifica-se diretamente a porta UDP de destino 2123, pois é a porta vinculada à interface S11, usada para sinalização entre o MME e o S-GW através do protocolo GTPv2-C (usado para verificar a QoS de uma sessão específica) [9].

Como retorno ao filtro se obteve todo o tráfego na categoria desejada, todas as unidades exibidas tinham como característica ter como destino o IP (*Internet Protocol*) do EPC e origem o IP do eNodeB, ou o contrário.

Para exemplificar, foi selecionado um frame específico dentro da categoria. A primeira linha mostra o resumo e as linhas seguintes mostram a camada de enlace de dados, a camada de rede, a camada de transporte e, finalmente, os dados reais contidos, como pode ser visto na Figura 2.

```

# Frame 12284: 98 bytes on wire (784 bits), 96 bytes captured (768 bits) on interface 0
# Ethernet II, Src: AsrockIn_07:d9:b8 (78:85:c2:67:d9:b8), Dst: PcsCompu_89:bf:bc (68:00:27:89:bf:bc)
# Internet Protocol Version 4, Src: 200.239.93.186, Dst: 200.239.93.53
# Stream Control Transmission Protocol, Src Port: 36412 (36412), Dst Port: 36412 (36412)

0000  00 00 27 89 bf bc 78 05 c2 07 d9 b8 08 00 45 02  .....p.....E
0010  00 54 00 3a 40 09 40 84 ed 1b c8 ef 5d ba c8 ef  -T-00-0-.....
0020  5d 35 8e 3c 8e 3c 0d 89 c3 34 84 a5 8f e9 04 00
    
```

Fig. 2. Detalhes frame dos packages UDP.

Além disso, a filtragem mostrou também que o uso do protocolo S1AP, que fornece o serviço de sinalização entre o eNodeB e o EPC, é requisitado de maneira efetiva. A conexão feita entre eles utiliza do protocolo SCTP que opera sobre o IP, a Figura 3 mostra a conexão com base nesses parâmetros, onde cada mensagem trocada têm uma confirmação SACK (*Selective Acknowledgement*).

Protocol	Length	Info
SCTP	82	INIT
SCTP	306	INIT_ACK
SCTP	278	COOKIE_ECHO
SCTP	60	COOKIE_ACK
S1AP	122	S1SetupRequest
SCTP	62	SACK
S1AP	90	S1SetupResponse
SCTP	62	SACK
S1AP/NAS-EPS	126	InitialUEMessage, Service request
S1AP	218	InitialContextSetupRequest, UECapabilityInformation
S1AP	134	UECapabilityInfoIndication, UECapabilityInformation
SCTP	62	SACK
S1AP	162	InitialContextSetupResponse
SCTP	62	SACK
SCTP	98	HEARTBEAT
SCTP	98	HEARTBEAT_ACK
SCTP	98	HEARTBEAT
SCTP	98	HEARTBEAT_ACK
SCTP	98	HEARTBEAT
SCTP	98	HEARTBEAT_ACK
SCTP	98	HEARTBEAT
SCTP	98	HEARTBEAT_ACK
S1AP/NAS-EPS	178	InitialUEMessage, Attach request, PDN connectivity request
S1AP/NAS-EPS	142	DownlinkNAStransport, Authentication request
SCTP	62	SACK

Fig. 3. Colunas protocolo e informação dos pacotes da categoria “udp.dstport == 2123 || sctp”.

V. CONCLUSÕES

Neste artigo foi discutida a construção e emulação de uma rede LTE *indoor* completa de baixo custo utilizando rádio definido por software através do OAI e programação de SIMs. Também foi analisado o cenário de fluxo de pacotes para porta UDP de destino 2123 ou de protocolo SCTP via *Wireshark* durante a conexão de um UE à rede, ou seja, acompanhou-se a comunicação do MME e do S-GW pelo ponto de vista de pacotes. Com isto, foi possível confirmar o funcionamento correto dos módulos principais do LTE, conexão do usuário à rede e acesso à Internet pelo mesmo.

VI. AGRADECIMENTOS

Este trabalho foi financiado pela Fundação de Amparo à Pesquisa do Estado de São Paulo (FAPESP), número do processo 2015/24508-9, com apoio da PROEX/UFPA.

REFERÊNCIAS

- [1] T. S. Rappaport, S. Sun, R. Mayzus, H. Zhao, Y. Azar, K. Wang, G. N. Wong, J. K. Schulz, M. Samimi, and F. Gutierrez, “Millimeter wave mobile communications for 5g cellular: It will work!,” *IEEE Access*, vol. 1, pp. 335–349, 2013.
- [2] A. Toskala and T. Lunttila, *LTE for UMTS: Evolution to LTE-Advanced, Second Edition*, pp. 67 – 82. 03 2009.
- [3] C. Bonnet, D. Camara, R. Ghaddab, A. Hayar, L. Iacobelli, F. Kaltenberger, R. Knopp, B. Mercier, N. Nikaiein, D. Nussbaum, E. Yilmaz, and B. Zayen, “Openairinterface and agile spectrum access,” pp. 662 – 663, 06 2011.
- [4] E. M. Sánchez, “Study of RAN slicing in a real SDN-NFV platform,” M.S. thesis, Universitat Politècnica de Catalunya, Barcelona, 2018.
- [5] S. Wang, D. Xu, and S. Yan, “Analysis and application of wireshark in TCP/IP protocol teaching,” in *2010 International Conference on E-Health Networking Digital Ecosystems and Technologies (EDT)*, vol. 2, pp. 269–272, April 2010.
- [6] O. Eurecom, “OpenAirUsage,” 2016. [Online]. Disponível em: <https://gitlab.eurecom.fr/oai/openairinterface5g/wikis/OpenAirUsage>. [Acessado em 20 de Abril, 2019].
- [7] ETTUS, “USRP B210 (board only).” [Online]. Disponível em: <http://www.ettus.com/all-products/UB210-KIT/>. [Acessado em 16 de Abril, 2019].
- [8] VIVO, “Huawei E3272.” [Online]. Disponível em: <https://configuraraparelhos.vivo.com.br/?pagina=device/modems-usb/huawei-e3272/>. [Acessado em 25 de Abril, 2019].
- [9] B. Dhindsa, A. Kaur, and S. Ahuja, “LTE interfaces and protocols,” in *2015 International Conference on Advances in Computer Engineering and Applications*, pp. 870–874, March 2015.